

МИНЕРАЛОГИЯ, ПЕТРОГРАФИЯ, ЛИТОЛОГИЯ

УДК 552.322.2(571.56)

В.А. УТЕНКОВ¹, М.А. ФЕСЕНКО²

**УСЛОВИЯ КРИСТАЛЛИЗАЦИИ ГРАНИТОВ
И ПЕГМАТИТОВ ТАРБАГАНАХСКОГО МАССИВА
(КУЛАРСКИЙ ХРЕБЕТ, ВЕРХОЯНЬЕ)**

Сдавливание при кристаллизации гранита Тарбаганахского массива в своде антиклинали приводит к формированию флюидально-гнейсовидных текстур и отделению остаточного пегматитового расплава с дальнейшим его перемещением на периферию комплекса. Двустадийная кристаллизация усиlena присутствием Ca в расплаве. Ранняя стадия — химическая деанортитизация плагиоклаза, поздняя — молекулярная (ин-конгруэнтная) кристаллизация калиевого полевого шпата. Отделение флюидно-солевого расплава (с F, B и водой) ведёт к адиабатическому разогреву остаточного силикатного расплава и образованию протяжённых пегматитовых жил. Продукт последней стадии кристаллизации гранита и состав магматической основы пегматита идентичны (кварц и калиевый полевой шпат). Примитивный состав магматической стадии пегматитов (Fe-ортоклаз + кварц) контрастирует с обилием и агрессивным наложением поздних минералов на фоне снижения температуры. Массовая альбитизация — результат перевода Na во флюид при неполном раскислении плагиоклаза. Обилие мусковита и кварца сопряжено с выносом Mg в околовегматитовые турмалиниты и хлоритовые породы, а Ca и Fe — в зоны пироксенизации и амфиболизации вмещающих алевролитов.

Ключевые слова: гранит; пегматит; деанортитизация; адиабатическая декомпрессия; флюидно-солевой расплав.

Тарбаганахский гранитный массив (9–16 км) приурочен к своду крупной антиклинали. По форме массив представляет собой гарполит с крутым (подвёрнутым) юго-восточным контактом и пологими остальными контактами (рис. 1), что позволяет отказаться от его трактовки как батолита. Массив весьма неоднороден по строению и сложен биотитовыми гранитами: массивными, с глыбовой отдельностью в корневой зоне (на юго-востоке) и очково-флюидальными с горизонтальной плитчатой отдельностью при пологом залегании в области выклинивания (на северо-западе) [19].

Граниты сопровождаются многочисленными телами относительно однородных пегматитов (пегматит-аплитов), находящихся внутри массива в его корневой зоне, и за пределами (выше кровли) массива в зоне его субпластового залегания. Пегматиты (пегматит-аплиты) сильно изменены и кроме калиевого полевого шпата и кварца содержат мусковит, альбит, гранат, берилл, мелкий топаз и обильный турмалин.

Вблизи массива вмещающие пермские алевролиты и песчаники либо ороговикованы, либо интенсивно базифицированы с образованием Ca-пироксена и амфиболя, либо превращены в биотит-мусковитовые слюдиты с турмалином (шерлом, дравитом) и бериллом. К западу и востоку на удалении 1 км во вмещающих породах есть участки с золотым оруднением [18].

По составу (таблица) массивные граниты относятся к умеренно-щелочному ряду. Массивные граниты — кислые, а гнейсовидные — ультракислые породы. При меньшей кремнекислотности массивные биотитовые граниты содержат больше оснований (магний, кальций, железо). Низкое содержание калия в пегматите — следствие альбитизации.

Привлекает внимание специфика структур гранитов, отражающая изменение условий в процессе кристаллизации, и необычный состав пегматитов, в которых кварц и калиевый полевой шпат магматические, а альбит — метасоматический. Ниже

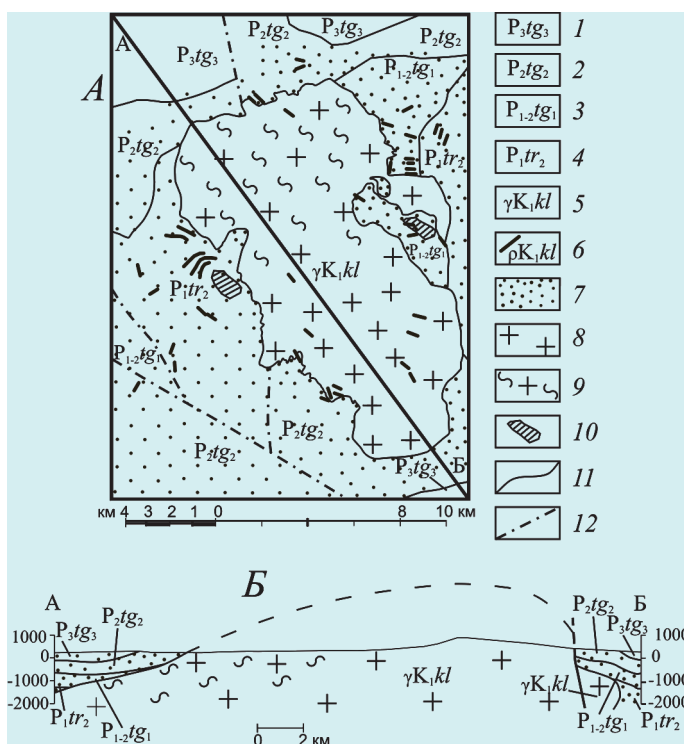


Рис. 1. Схематическая геологическая карта (А) и разрез (Б) Тарбаганахского гранитного массива (по [17]): 1–4 – пермские терригенные отложения туругчанская (подсвиты: нижняя, средняя и верхняя) и тарбаганахской свит; 5 – биотитовые граниты куларского интрузивного комплекса; 6 – дайки пегматитов; 7 – область контактово-метасоматических изменений; 8 – граниты с массивной текстурой; 9 – граниты с гнейсовидной текстурой; 10 – участки рассеянной рудной минерализации; 11 – границы стратиграфических подразделений и интрузивных тел; 12 – разрывные нарушения

приводится характеристика трёх типов пород: гранитов массивных, гнейсовидных, а также пегматитов.

Граниты массивные (слабо порфировидные)

Внешне однородные массивные или слабо полиродные биотитовые граниты (с примесью циркона, сфена, магнетита и апатита) занимают центр и юго-восток массива. Биотит образует скопления (рис. 2, *a*) между кварцем (Кв) и плагиоклазом (Пл), но при этом не образует включений в бесцветных минералах, что свидетельствует о высокой вязкости, а значит, и сухости начального расплава. Из-за присутствия Са в расплаве сначала выделяются плагиоклаз с высокой основностью (андезин, An_{35-40}) и кварц. Затем происходит частичное раскисление плагиоклаза, и только потом образуется калиевый полевой шпат (КПШ), неравновесный по отношению к плагиоклазу повышенной основности.

Характерна разная степень раскисления (де-нортитизации) плагиоклаза при диффузионном обмене компонентами с расплавом. В одном случае (рис. 2, б) выявлена характерная контрастная

Рентгеноспектральные анализы гранитов и пегматита					
Компонент	Гранит биотитовый массивный	Гранит биотитовый гнейсовидный	Пегматит		
	3341/1	3341/4	8429/2	8429/5	6260
SiO ₂	71,24	73,97	75,52	74,57	76,01
TiO ₂	0,51	0,31	0,19	0,30	0,01
Al ₂ O ₃	13,93	14,09	13,34	13,70	14,40
Fe ₂ O ₃	2,88	2,12	1,50	1,92	0,70
MnO	0,04	0,04	0,02	0,03	0,06
MgO	0,82	0,58	0,37	0,41	0,07
CaO	1,28	1,43	1,00	1,23	0,23
Na ₂ O	3,22	3,75	3,98	3,64	5,83
K ₂ O	5,88	3,61	3,94	4,11	2,52
P ₂ O ₅	0,20	0,10	0,14	0,09	0,17
Сумма	100	100	100	100	100

Примечание. Содержание хлора во всех анализах <0,01 мас. %, фтора — 0,016 — 0,053 мас. %, содержание бора и воды не определялось, пересчёт на 100 мас. %; анализы выполнены в лаборатории АСИ центра, ВИМС, аналитик Е.П. Шевченко.

зональность плагиоклаза на границе с кварцем: серицитизированное более основное ядро (An_{35-45}) и только узкая кайма деанортитизации до An_{25} . В другом случае можно видеть слабую, но равномерную деанортитизацию до An_{35} (рис. 2, а) с едва заметной теневой зональностью и чёткой альбитовой каймой. Встречается и глубокая деанортитизация плагиоклаза, которая распространяется на весь кристалл (рис. 2, в). В этом случае сохраняется теневая первичная зональность при одинаковом конечном составе (An_{25}) и сквозном полисинтетическом альбитовом двойниковании через все реликтовые зоны. Превращение An_{35} — An_{25} происходит с увеличением объёма, что отражается в деформации наружного кварца, приобретающего зубчатые очертания и мозаичное угасание (рис. 2, б). Плагиоклаз «распухает», поскольку Al не выносится и вместо потери анортитовой молекулы в расплав уходит только CaO , а из расплава поступают Na_2O и SiO_2 :



Рост объёма плагиоклаза (I) значительный и составляет $8,02 \text{ см}^3/\text{моль}$. При этом расходуется кремнезём, и кварц прекращает выделяться.

Деанортитизация плагиоклаза в равновесии с кварцем должна быть учтена при использовании правила фаз, в котором температура и давление воды — изменяющиеся внешние параметры. В системе из трёх компонентов (K) — альбита (Ab), анортита (An) и кремнезёма (SiO_2) — число фаз (Φ) тоже равно трём (Кв, Пл, расплав L), а число степеней свободы (C) равно двум ($C = K - \Phi + 2 = 3 - 3 + 2 = +2$). Реакция деанортитизации $L_1 + +\text{An}_{35} > \text{An}_{25} + L_2$, соответствующая понижению температуры, уменьшает вариантность до +1:

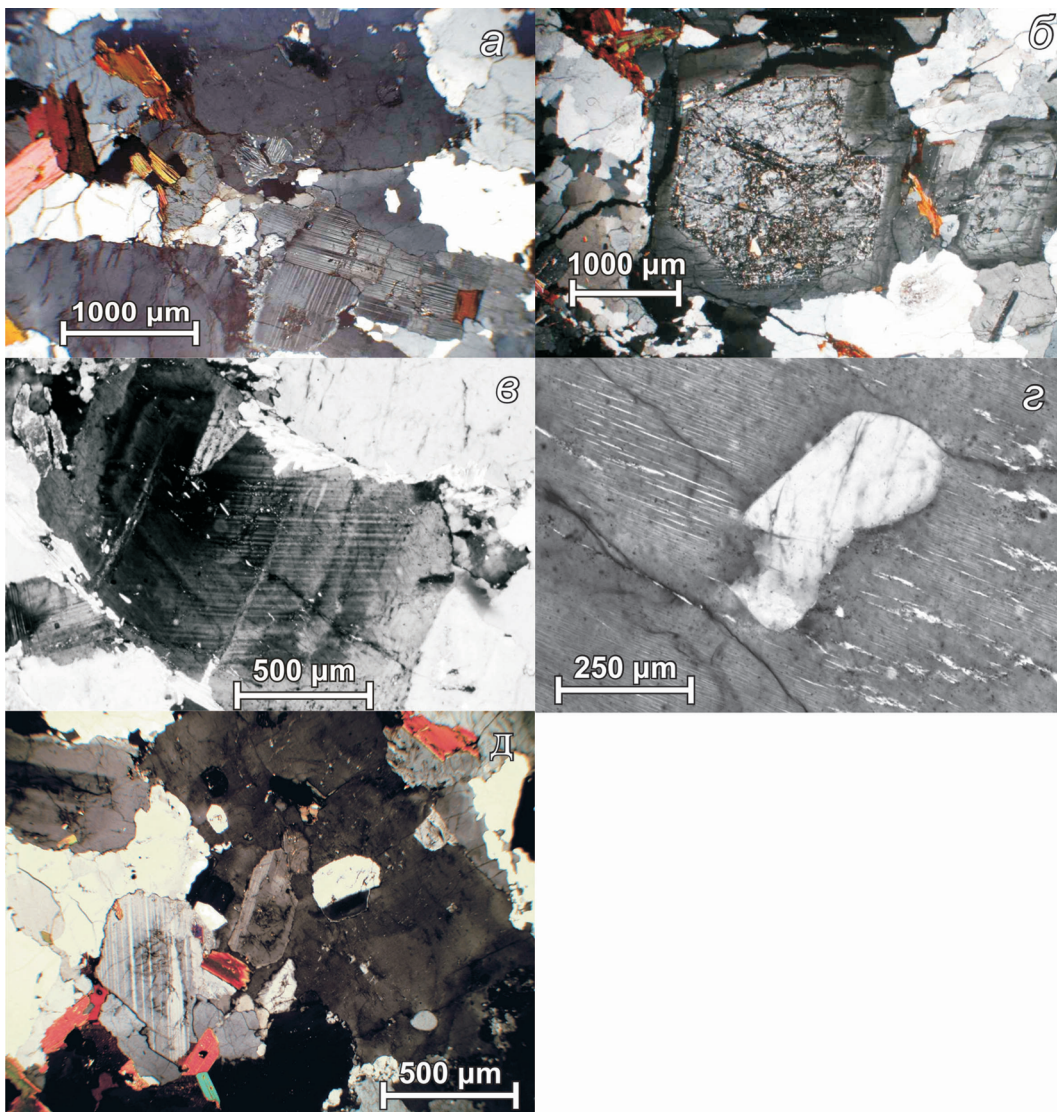


Рис. 2. Структуры массивных гранитов: *а* — гипидиоморфнозернистая структура гранита; видны скопления биотита, кайма альбита вокруг плагиоклаза на границе с КПШ и мирмекиты, с анализатором; *б* — кайма деанортитизации и основное (сериизированное) ядро плагиоклаза, окружённого кварцем; *в* — сплошная деанортитизация зонального плагиоклаза с развитием сквозного альбитового двойникования; *г* — КПШ с перититами распада в центре и включением плагиоклаза; *д* — монцонитовая структура: инконгруэнтное растворение плагиоклаза в КПШ при сохранении включений биотита

$$C = K - \Phi + 2 - 1 = 3 - 3 + 2 - 1 \text{ (реакция)} = +1. \quad (1)$$

Это означает, что температура и давление водного флюида, изначально представляющие две степени свободы, могут меняться только синхронно с изменением состава плагиоклаза. Его фиксированный конечный состав (An_{25}) соответствует определённой температуре, связанной с конкретной величиной давления воды. Такое состояние представляет временный баланс между отводом тепла и теплотой, выделяющейся при кристаллизации. Поэтому реальное число степеней свободы в данном (конечном) состоянии равно нулю ($C = 0$). Сочетание сплошной и краевой деанортитизации плагиоклаза (до An_{25}) отражают неравномерное распределение воды в расплаве. Однородная деанортитизация с сохра-

нением теневой зональности — следствие высокого давления воды (500 МПа [26]), а её узкая краевая кайма — низкого (50 МПа [15]).

Калиевый полевой шпат, содержащий до 10–20 % очень тонких перититов распада в центре, при их отсутствии на периферии (рис. 2, *г*), кристаллизуется инконгруэнтно с растворением в расплаве кварца и наиболее основного плагиоклаза. В результате образуются крупные (до 1 см) порфировидные таблитчатые выделения КПШ с многочисленными ответвлениями. В возникающих монцонитовых структурах (рис. 2, *д*) внутри КПШ устанавливается равновесие с чуть более кислым, чем при деанортитизации, плагиоклазом (An_{20}). Реакция $L_2 + An_{25} + Kb \rightarrow KPS + An_{20} + L_3$ снижает вариантность системы до единицы, так как число

фаз $\Phi = 4$ (Кв, КПШ, Пл, расплав), число компонентов $K = 4$ (SiO_2 , Ab, An, Kfs), где Kfs — калиево-полевошпатовый компонент:

$$C = K - \Phi + 2 - 1 \text{ (реакция)} = 4 - 4 + 2 - 1 = +1. \quad (2)$$

Возможность моновариантного изменения температуры и давления не согласуется с постоянством состава включений плагиоклаза An_{20} в КПШ. Равновесие этих фаз снова отражает баланс между отводом и выделением тепла при кристаллизации. Соответственно на стадии образования КПШ в равновесии с An_{20} число степеней свободы, как и в предыдущем случае, равно нулю. Нонвариантное состояние в конце обеих стадий (Кв + An_{25} и КПШ + An_{20}) не означает прекращение кристаллизации. Она продолжается, так как возникает местное переохлаждение расплава на фронте роста кристаллов [13, 14].

На заключительной стадии вокруг плагиоклаза, находящегося не внутри, а снаружи КПШ, появляется тонкая альбитовая кайма вдоль границы со смежным кристаллом КПШ (рис. 2, *a*) в присутствии кварца, формируя конечное тройное эвтектическое равновесие.

Температурная стадийность, устанавливаемая по конечным равновесиям, если исходить из достигнутого на ранней стадии давления воды 500 МПа, составляет 750°C (Кв + An_{25}) [27], 715°C (КПШ + An_{20}) [28], 635°C (Кв + An_0 + КПШ) [22]. Эти равновесия локальны и не противоречат общему снижению температуры, что отражается в зональности щелочных полевых шпатов и плагиоклаза. Отвод тепла соответствует условиям внедрения гранитного расплава в «холодную» осадочную толщу.

Причиной стадийной кристаллизации расплава с промежуточными равновесиями является его неэвтектический начальный состав. Это видно по высокому содержанию CaO в анализах 3341/1 и 3341/4 (таблица). Удаление из системы Ca при деанортитизации плагиоклаза и при инконгруэнтной кристаллизации КПШ приближает конечный состав расплава к эвтектическому. Появление апатита внутри деанортитизированного плагиоклаза указывает на тенденцию к сохранению Ca в расплаве. Насыщение расплава водой способствует обильному развитию мирамекитов с возвращением в систему Ca и Al уже на постмагматическом этапе.

Граниты гнейсовидные (полосчато-флюидальные)

Гнейсовидные граниты краевой фации существенно отличаются от массивных гранитов вследствие того, что стадийная кристаллизация нарушилась действием внешнего фактора — тектоническим выдавливанием остаточного расплава вместе с отделившимся флюидом.

Для этих гранитов характерны мелкоочковые, очково-флюидальные, тонкополосчатые текстуры и структуры течения, образовавшиеся при внедрении и перемещении расплава в своде формирующейся антиклинали. Субгоризонтальная гнейсовидность возникает при слоевом скольжении пологой кровли ещё до окончания кристаллизации расплава, так как деформации подвержены ранние кварц и плагиоклаз, но не поздний КПШ.

Несмотря на деформации, последовательность кристаллизации устанавливается отчётливо. Более того, она выглядит более контрастной по сравнению с массивными гранитами. Ранние зональные кристаллы плагиоклаза (андезина) в процессе деанортитизации намного чаще, чем в массивных гранитах, превращаются в олигоклаз An_{20-25} с сохранением зональности. Докалишпатовые деформации и даже разрушение кристаллов плагиоклаза в гнейсовидных гранитах происходят не вследствие «распухания» при деанортитизации, а из-за подвижности кварца, принимающего на себя внешнюю нагрузку (рис. 3, *a, б*). В отличие от гранитов центральной и юго-восточной части массива кварц растянут в тонкие линзы, где каждый его индивид имеет сутурные (мелкозубчатые) ограничения (рис. 3, *в*). Текущесть кварца (сингектоническая рекристаллизация [1]), согласно экспериментам [23], представляет форму пластических деформаций под давлением при высокой температуре. Но, кроме того, большое влияние оказывает и присутствие воды, которая является катализатором многих процессов. Пример относительно «сухой» кристаллизации гранитов Казахстана [15] показывает, что в этих условиях нет признаков текучести кварца, как нет и деанортитизации с соответствующим «распуханием» плагиоклаза. Пример кристаллизации гранитов из водонасыщенного расплава (Морадьский массив, Венгрия [26]) показывает, что вместе с деанортитизацией плагиоклаза происходит его расширение и соответственно растёт давление на кварц, из-за чего весь кварц деформируется, а границы его зёрн становятся сутурными. В изучаемых гранитах, где вместе с ростом давления воды плагиоклаз деанортитизируется, а кварц становится «текучим» (протокатаклаз), добавляется ещё и давление из-за перемещения кровли. В результате кварц образует слоевые агрегаты с выраженным сутурными границами индивидов (рис. 3, *в*).

Выделяющийся на следующей стадии КПШ растёт с полным поглощением кварца и частичным — плагиоклаза, формируя монционитовую структуру. Включения плагиоклаза (An_{20}) не имеют альбитовой каймы и сохраняются без растворения, приобретая таблитчатую форму, тогда как реликты более основного плагиоклаза (An_{34}) обладают признаками растворения и округлыми или ксеноморфными очертаниями (рис. 3, *г*). В отличие от сильной деформации кварца в КПШ лишь иногда по-

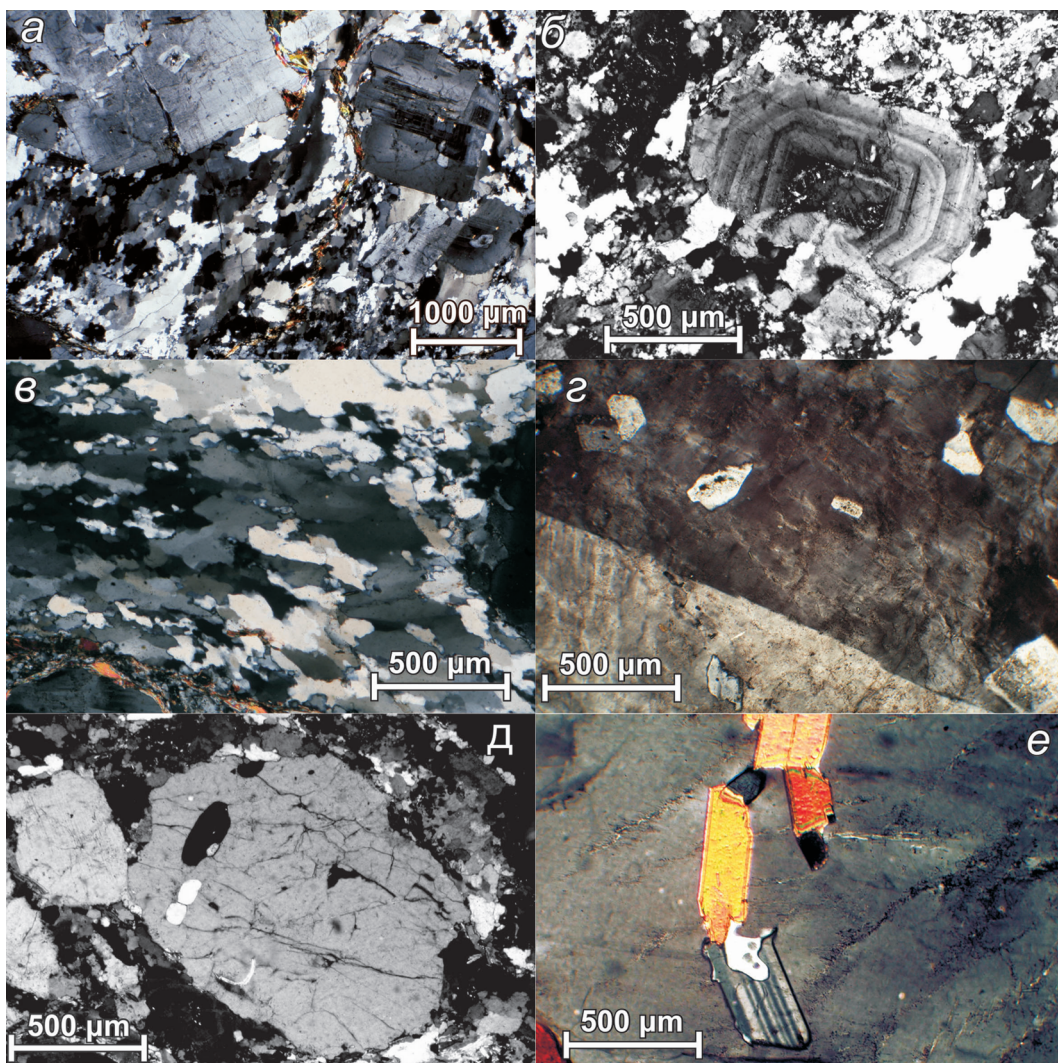


Рис. 3. Структуры гнейсовидных гранитов: а — плагиоклаз, сцепментированный и расщеплённый сутурным кварцем; б — деформированный кристалл плагиоклаза, корродированый агрегатом сутурного кварца; в — агрегат кварца с сутурными ограничениями зёрен; г — пятнистая неоднородность в простом двойнике ортоклаза; д — каплевидные включения кварца (белые) и овальное включение калиевого полевого шпата (чёрное) в плагиоклазе; е — кварц-калиевошпатовый симплектит внутри крупного КПШ, содержащего включения плагиоклаза и биотита

являются признаки катаклаза в виде неоднородности (расплывчатой решётчатости).

Явления ранней (докалиевошпатовой) деанортитизации вместе с подвижностью кварца и деформацией плагиоклаза — следствие низкой вязкости расплава. По Э.С. Персикову [11], это происходит из-за того, что при двух механизмах растворения воды в расплаве начальному этапу соответствует химический механизм, когда степень диссоциации воды увеличивается с ростом давления. Увеличение вязкости на втором этапе происходит из-за физического (молекулярного) механизма растворения воды в расплаве, что отражается в инконгруэнтной кристаллизации КПШ без изменения состава реликтового плагиоклаза. Смещение интенсивности реакций расплав–кристаллы на раннюю стадию кристаллизации гнейсовидных гранитов по сравнению с массивными гранитами, по-видимо-

му, обусловлено накоплением флюида в расплаве, занимающем краевую область интрузии.

Весьма важный факт — появление в краевых гнейсовидных гранитах позднемагматических каплевидных включений кварца и КПШ (без альбита) как внутри деанортитизированного плагиоклаза — An_{20} (рис. 3, д), так и внутри крупного КПШ (рис. 3, е). В первом случае включения Kv и КПШ расположены рядом, но раздельно, а во втором они образуют симплектит с кварцевой основой. Причём кварц-калиевошпатовые симплектиты «прожигают» не только крупный ранний КПШ, но и расположенные внутри него реликты биотита и плагиоклаза (рис. 3, е). Таких включений нет в массивных гранитах, где конечное тройное равновесие формируется на стыках зёрен при постепенном доведении краёв плагиоклаза до альбитового состава. Для гнейсовидных гранитов характерны

не тройные, а именно парные конечные равновесия ($\text{Кв} + \text{КПШ}$), возникающие в результате контрастного и агрессивного внедрения, предполагающего точечное растворение ранних минералов в неравновесном флюиде. На роль компонентов, образующих агрессивный по отношению к ранним минералам флюид, претендуют фтор и бор. В [16] из-за обилия турмалина в боковых породах предполагалось, что причиной разделения расплава является именно бор. Позднее, обнаруженный в пегматитах мелкий топаз позволил привлечь к анализу фтор. Согласно [3, 5], фтор вместе с Na и Al (без Si) и водой образует подвижную солевую жидкость, по составу близкую к криолиту, неравновесную по отношению к ранним силикатам. Сопряжённый с ней вязкий силикатный расплав, напротив, обогащён Si и K . Расслоение расплава на силикатный и флюидно-солевой [2, 9, 19] представляет важнейшую стадию для развития последующих процессов, включая рудоотложение.

Ещё раз обратим внимание на прекращение деанортитизации плагиоклаза ниже уровня An_{20} , когда он находится внутри КПШ. Можно предположить, что неизрасходованный Na поступил во флюид. Температура остаточного силикатного расплава ($\text{Кв} + \text{КПШ}$) оказывается выше той, что была к этому моменту у минералов матрицы (ранних An_{25} и КПШ). Поэтому происходит охлаждение и мгновенная кристаллизация внедрившегося расплава с формированием симплектита. Отделение, по-видимому, происходило на более глубоких горизонтах, где кристаллизация КПШ ещё не была завершена. Эффект прожигания ранних минералов флюидно-солевым расплавом способствует декомпрессии остаточного силикатного расплава с потерей воды и, как следствие, его разогреву. Отсюда возникают и признаки высокой агрессивности поздней ассоциации минералов. В условиях потери остаточным силикатным расплавом воды и фтора температура кристаллизации $>730^\circ\text{C}$ [25]. Бор, также содержащийся в расплаве, в отсутствие его разделения на две фазы снижает вязкость и температуру кристаллизации [21]. Но турмалин, причём обильный, концентрируется не в гнейсовидных гранитах, а в пегматитах. Экстракция бора во флюидную fazu проходит, видимо, совместно с фтором.

Состав гнейсовидных гранитов отличается от массивных гранитов большим содержанием SiO_2 и меньшим Fe_2O_3 , MgO , CaO при том же количестве щелочей, что переводит гнейсовидные граниты в разряд ультракислых пород (таблица). По-видимому, это связано с накоплением кислотных компонентов (бора и фтора) и дебазификацией расплава при понижении температуры [8, 12]. Кислотность постмагматических изменений также выше, чем в массивных гранитах. Именно для гнейсовидных гранитов, кроме обильных миремекитов, характерен мусковит, развивающийся по биотиту.

Пегматиты

Пегматиты, образующие многочисленные весьма протяжённые тела (несколько сотен метров), при малой мощности (до 3 м), имеют своеобразный состав и характеризуются отсутствием зональности. Собственно, это не классические пегматиты, а однородные метасоматически изменённые жильные породы, из-за отсутствия гигантокристаллов при документации часто называемые пегматит-аплитами. Иногда внутри пегматит-аплита находится сложенная более крупными кристаллами осевая зона (пегматит). Магматическую основу пегматитов и пегматит-аплитов составляют те же два минерала, которые заканчивали кристаллизацию гнейсовидного гранита — калиевый полевой шпат и кварц. Можно считать, что в отличие от гранитов Ca в расплаве отсутствует. Первым выделялся ортоклаз с простыми бавенскими и карлсбадскими двойниками, затем к нему присоединялся кварц в форме ромбовидных ихтиоглиптов (рис. 4, *a*). Графические структуры встречаются редко. Обычно кристаллы КПШ размером до нескольких см контактируют с монокристаллическим кварцем. Характерно полное отсутствие перититов распада в ортоклазе. Вместо альбита в структурах распада присутствует обильный гематит (рис. 4, *b*). Выделение гематита должно сопровождаться выносом во флюид K_2O и SiO_2 в реакции [10]:



Безнатриевый КПШ и ассоциирующий с ним кварц представляют магматическую основу пегматита и резко контрастируют с обильным метасоматическим альбитом кислотной стадии, замещающим крупный КПШ. На рис. 4, *a* альбит развивается в виде прожилка вдоль плоскости двойникования ортоклаза. Его сменяет мусковит, пластина которого маркирует эту плоскость. На рис. 4, *c* альбит развивается от периферии внутрь ортоклаза, а в тылу видны пластинки мусковита. На рис. 4, *d* альбит и мусковит образуют многочисленные рассеянные таблицы внутри ортоклаза, плоскость двойникования которого деформирована. В тылу у агрегата альбита с мусковитом развивается крупный кварц, содержащий включения альбита (рис. 4, *e*). Очень большое количество альбита и полное отсутствие его равновесия с КПШ отличают изменения в пегматитах от обычных колонок грейзенизации. Это дополнительно указывает на перевод Na во флюид с контрастными кислотными свойствами относительно минералов магматической стадии. Вместе с альбитом и мусковитом постоянно встречаются топаз и берилл.

Завершается изменение пегматита появлением зернистого агрегата, состоящего из низкотемпературного кварца, внутри которого мусковит растворяется, сохраняясь в мелких реликтах (рис. 4, *ж*).

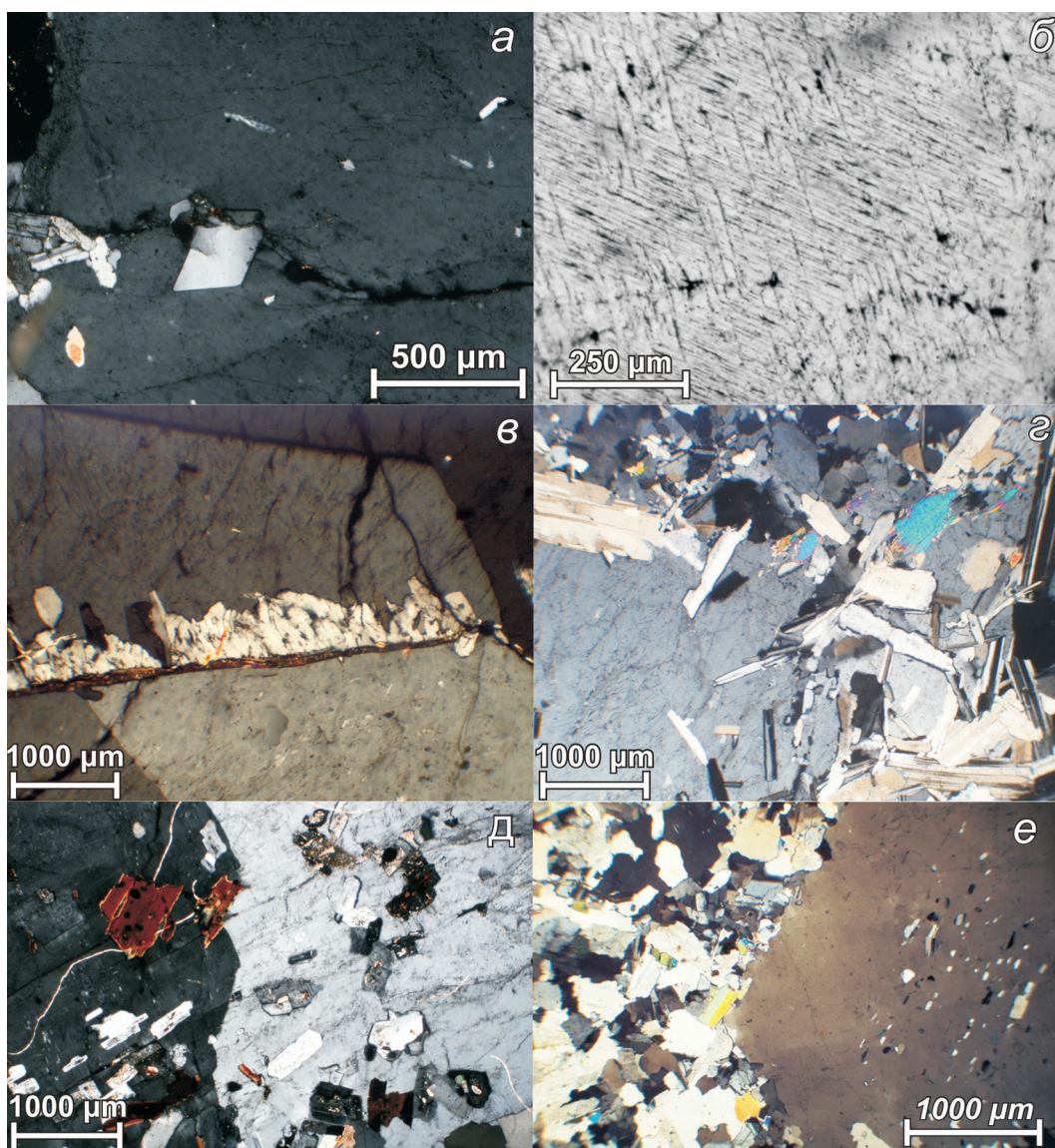


Рис. 4. (а–е). Структуры и минеральные агрегаты в пегматитах: а – ромбовидный ихтиоглипт кварца в калиевом полевом шпате; б – структура распада ортоклаз – гематит; в – поздний агрегат альбита, развивающийся вместе с пластиной мусковита вдоль плоскости двойникования в ортоклазе; г – пластинчатый альбит, развивающийся по ортоклазу; д – пластинки позднего альбита и мусковита в ортоклазе с деформированной плоскостью двойникования; е – крупный кварц с включениями альбита;

Для этого кварца, приводимого в справочниках под названием I_1 -тридимит, характерны низкий показатель преломления, тройники и коррозия раннего кварца.

У контакта пегматита кварц-альбитовые метасоматиты резко сменяются мелкозернистыми турмалинитами с кварцем и мусковитом. Их основу составляет оранжевый дравит (рис. 4, з, и). Образование турмалинитов означает уменьшение кислотности по сравнению с кварц-альбит-мусковитовым метасоматитом [6] осевой части пегматита. В другом случае, тоже в краевой части пегматита, с кварц-альбитовым агрегатом (с мусковитом) соседствует не кварц, а зона сплошного светлого хлорита с примесью мусковита (рис. 4, к). Турмалин и хлорит представляют стадию осаждения оснований (Mg).

Условия кристаллизации гранитов и пегматитов

Сравнение геологической позиции, порядка и условий кристаллизации массивных и гнейсовидных гранитов, а также пегматитов показывает, что их становление тесно сопряжено с динамическим фактором. Внедрение расплава в сводовое расслоение антиклинали сменяется сдавливанием ещё до окончания кристаллизации гранита. В результате раннего протокатализма (автокатализма) гранитов, а затем и катализма при перемещении кровли деформируются кварц и плагиоклаз. Возникают полого ориентированные очково-флюидальные текстуры с признаками течения. Важным петрологическим следствием тектонического сдавливания является удаление части остаточного расплава до

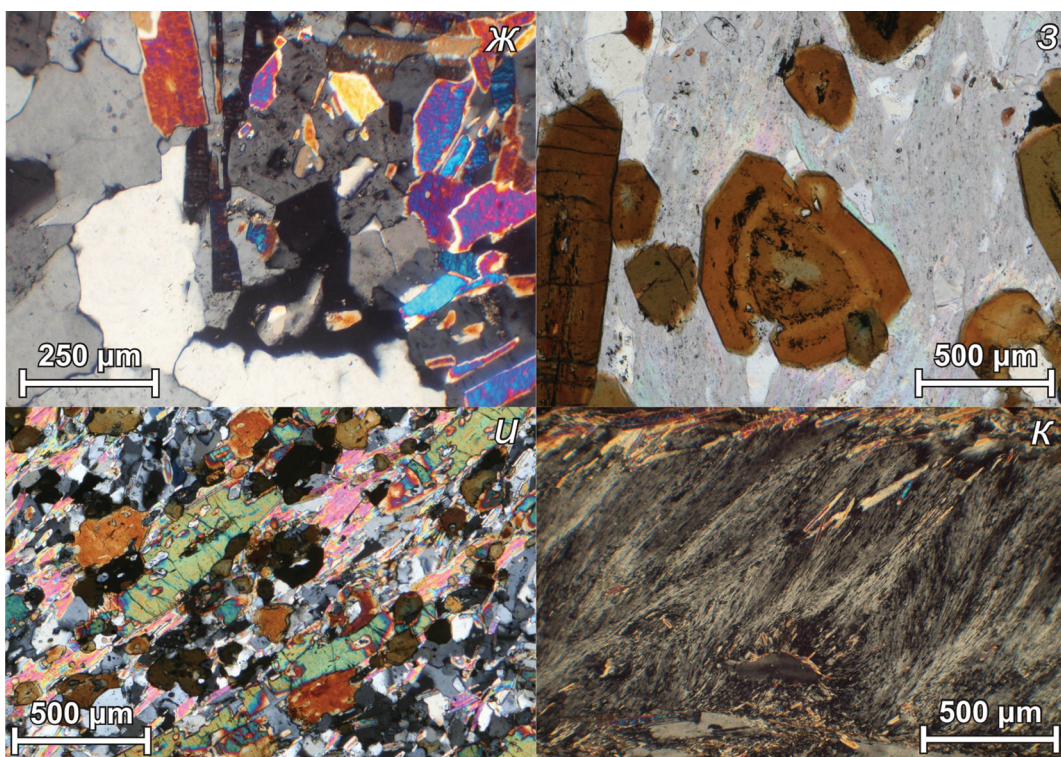


Рис. 4. (ж–к). Структуры и минеральные агрегаты в пегматитах: ж – тройник позднего 1-тридимита (в центре) с реликтами мусковита внутри агрегата крупнозернистого кварца; з – оранжевый турмалин (дравит), без анализатора; и – агрегат турмалина, мусковита и кварца; к – агрегат хлорита на границе с

окончания кристаллизации КПШ и кварца по-вторной генерации. Само появление позднего кварца, присоединяющегося к КПШ, встречается часто в разных гранитных массивах. Кварц вновь выделяется из-за неполноты деанортитизации пла-гиоклаза и создания избытка кремнезёма в оста-точном расплаве. Отсюда следует, что главной причиной возникновения повторной генерации кварца, так же как и монцоструктур с крупным КПШ, является повышенное содержание Ca в рас-плаве [26]. Правда, реализуются эти процессы то-лько в случае высокой водонасыщенности расплава и не реализуются в «сухих» расплавах [15].

Отличительная черта остаточного расплава гнейсовидных гранитов — его высокая подвиж-ность, выраженная в «прожигании» ранних мине-ралов каплевидным агрегатом (Кв + КПШ), и в пе-риферийном положении пегматитов, основу кото-рых составляют те же два минерала. Очевидно, причина заключается в накоплении флюидно-со-левых компонентов (F и B) к концу кристаллизации и перераспределении Na, K, Al, Si между флю-идно-солевым и силикатным расплавами. Значе-ние флюидно-солевого (Na-алюмофторидного) расплава, обладающего меньшей плотностью и вязкостью [5], состоит в агрессивном растворении минералов гранитной матрицы, включая биотит, а также в обеспечении «каналов перемещения» си-ликатного расплава. Значение остаточного сили-катного расплава состоит в запечатывании поло-стей включениями Kv + КПШ.

Из многочисленных экспериментальных работ известно, что фтор и бор по-разному влияют на кристаллизацию силикатного расплава. Фтор [3, 4] способствует образованию алюмофторидной жид-кости, обогащённой Na, но без Si (Na_3AlF_6), в паре с алюмосиликатным расплавом, обогащённым K и образующим как кварц-калишпатовые включения в гранитах, так и магматическую матрицу пегматитов. Отсюда становится понятной чёткая диффе-ренциация калиевого (кварц-калишпатового) маг-матического парагенезиса пегматита и натриевого (альбитового) метасоматоза начальной стадии. Алюмофторидная жидкость насыщена водой, судя по обильной мусковитизации калиевого полевого шпата, идущей вслед за альбитизацией.

Бор в экспериментах без фтора [24] также спо-собствует переводу Na во флюид. Но если фтор ме-няет ход магматической кристаллизации гранита, то участие бора проявляется исключительно в пег-матитах и, более того, не на главной кислотной стадии метасоматических изменений, а на стадии осаждения оснований.

Температура, при которой происходит отделе-ние (мобилизация) остаточного силикатного рас-плава вместе с флюидно-солевым расплавом, явно выше, чем температура полевошпатовой матрицы гранита. Высокая температура устанавливается вследствие разогрева при адиабатической декомп-рессии [7], вызванной дегазацией расплава (обра-зованием пара, сопутствующего флюидно-солевой фазе). Эта температура выше минимума ($>>730^\circ\text{C}$)

Минерал	Стадии		
	Ранняя	Промежуточная	Поздняя
	$P_{H_2O} = 500 \text{ МПа}, T = 750^\circ\text{C}$	$P_{H_2O} = 500 \text{ МПа}, T = 715^\circ\text{C}$	$P_{H_2O} > 500 \text{ МПа} \cdot P_{H_2O} < 400 \text{ МПа}$ $T = 635^\circ\text{C} \cdot T > 730^\circ\text{C}$
Плагиоклаз	деанортитизация $An_{45-35} \rightarrow An_{25}$	растворение An_{20}	<i>a</i> : An_0 <i>b</i> :
Кварц		растяжение	:
КПШ			:
Биотит			
Циркон			
Апатит			
Сфен			
Магнетит			

Рис. 5. Последовательность кристаллизации гранита с различием условий на поздней стадии (*a* – массивный, *b* – гнейсовидный)

для кварц-калиевошпатовой эвтектики, а давление воды $<< 400 \text{ МПа}$ [25]. При охлаждении возникают мелкие включения и симплектиты Кв + КПШ в полостях, образовавшихся в результате флюидного «прожигания» более холодных ранних минералов. Параметры кристаллизации расплава гранитов с принципиальным изменением на последней стадии приведены на рис. 5.

Идентичность состава позднемагматических каплевидных включений и магматической матрицы пегматитов (Кв + КПШ) позволяют отождествлять их генетически. Их объединяет дискретное отличие от материнского гранита, которое, как подчёркнуто в [4], не сводится к прямому продолжению кристаллизации гранитной магмы. Натрий целиком переводится во флюидно-солевую fazu с фтором, обеспечивая обильную постмагматическую альбитизацию. Параллельное обезвоживание и разогрев усиливает дискретность событий при отделении пегматитового расплава.

Высокая температура отделения силикатного (без Na) и флюидно-солевого (с Na) расплавов подтверждается моноортоклазовым началом кристаллизации пегматита с очень небольшим количеством равновесного кварца, простыми двойниками ортоклаза и значительной примесью в нём железа (гематита в структурах распада). Примитивный парагенезис магматической стадии пегматитов (без альбита) контрастирует с большим разнообразием постмагматической минерализации (с альбитом).

Альбит первым из метасоматических минералов в массовом порядке развивается по КПШ пегматитов. Его обилие — следствие прекращения раскискления пластика материнских гнейсовидных гранитов (№ 20) из-за перехода Na во флюид. Вслед за альбитом по КПШ в кислотной реакции гидролиза образуется мусковит вместе с кварцем. Далее в равновесии с альбитом развивается дополнительный кварц, появление которого, по-видимому, вызвано разложением первичного железосодержащего ортоклаза. Fe и Mg присутствовали не только в гранитном, но и производном от гранита пегматитовом расплаве. Возможно, это связано с растворением в разогретом силикатном расплаве не только

полевых шпатов гранита, но и содержащегося в граните биотита (см. рис. 3, e). Но если Fe в пегматитах выделялось на магматическом этапе в составе КПШ и лишь потом (при кислотном метасоматозе) выносилось, то Mg отлагался только из растворов в турмалине и хлорите. Осаждение Fe и Ca происходит за пределами пегматита при базификации боковых пород (алевролитов, песчаников) с образованием Ca-пироксенов и амфиболов.

Выводы

1. Граниты Тарбаганахского массива (гарполята), приуроченного к своду антиклинали, в области выклинивания приобретают гнейсовидность и обилие очково-полосчатых текстур, а по периферии сопровождаются пегматитами.

2. Тектоническое сдавливание и одновременный рост флюидного давления происходят до окончания кристаллизации расплава.

3. Повышенное содержание Ca в исходном расплаве является причиной возникновения не только монцоструктур, но и образования дополнительного позднемагматического кварца из-за неполной деанортитизации пластика.

4. Вместе с ростом флюидного (водного) давления усиливается контраст между двумя стадиями кристаллизации гранита. На ранней стадии из-за химического взаимодействия с расплавом пластика деанортитизируется при сохранении Al. На поздней стадии идет молекулярное растворение пластика и раннего кварца с кристаллизацией калиевого полевого шпата.

5. Кварц второй генерации присоединяется к калиевому полевому шпату в конце кристаллизации в форме каплевидных включений и симплектитов. Их внедрение подготовлено агрессивным растворением ранних силикатных минералов флюидно-солевым (с Na, Al, F) расплавом.

6. Эффект «прожигания» обусловлен заполнением образовавшихся полостей силикатным расплавом (Кв + КПШ), имеющим высокую температуру из-за адиабатической декомпрессии и дегазации.

7. Тектоническое отдавливание остаточного силикатного расплава и находящегося с ним в равновесии флюидно-солевого расплава приводят к образованию во внешнем контуре массива пегматитов и пегматит-аплитов, по составу магматической матрицы не отличающихся от каплевидных включений в граните (Кв + КПШ).

8. Обезвоживание остаточного силикатного расплава и концентрация воды в отделившемся флюиде является причиной высокой температуры кристаллизации расплава пегматитов.

9. Безнатриевый (кварц-калишпатовый) состав магматической матрицы пегматитов резко контрастирует с обильной метасоматической альбитизацией, что является прямым следствием отделения флюидно-солевой жидкости (с Na) и исключительно калиевым составом остаточного силикатного расплава.

10. Обильная альбитизация пегматитов на начальной стадии их метасоматического изменения — следствие неполной деанортитизации плагиоклаза гнейсовидных гранитов и перевода Na во флюид.

11. Следующие за альбитом реакции гидролиза с образованием мусковита и кварца по остаткам ортоклаза отражают понижение температуры.

12. Железо, растворённое в ортоклазе, при метасоматозе выносится за пределы пегматитов, осаждаясь в Ca-пироксене и амфиболе базификаторов.

Магний, содержащийся в расплаве пегматитов, осаждается на постмагматическом этапе в дравите и хлорите на контактах жил.

Анализ структуры комплекса в целом и петрографических особенностей пород позволяет обосновать модель последовательной кристаллизации гранитов и пегматитов без ликвации, но с механизмом адиабатической декомпрессии. Мобилизации высокотемпературного пегматитового расплава предшествует двустадийная кристаллизация гранита, вызванная не только способом растворения воды, но и повышенным содержанием Ca. Накопление F и В ведёт к отделению силикатного (безводного) и флюидно-солевого (с водой) расплавов, формирующих пегматиты. Их силикатная матрица полностью соответствует остаточному расплаву гранита.

ЛИТЕРАТУРА

1. Вернон Р.Х. Метаморфические процессы. Реакции и развитие микроструктуры: Пер. с англ. М.: Недра, 1980. 227 с.
2. Граменицкий Е.Н. К познанию эволюции гидротермально-магматических систем // Вестник МГУ. Сер. 4. Геология. 1986. № 2. С. 3–17.
3. Граменицкий Е.Н., Щекина Т.И. Фазовые отношения в ликвидусной части гранитной системы с фтором // Геохимия. 1993, № 6. С. 821–839.
4. Граменицкий Е.Н., Щекина Т.И., Девятова В.Н. Фазовые отношения во фторсодержащих гранитной и нефелин-сиенитовой системах и распределение элементов между фазами. М.: ГЕОС, 2005. 188 с.
5. Девятова В.Н., Граменицкий Е.Н., Щекина Т.И. Фазовые отношения во фторсодержащих гранитной и нефелин-сиенитовой системах при 800°C и 1 кбар // Петрология. 2007. Т. 15. № 1. С. 21–36.
6. Зарaysкий Г.П. Зональность и условия образования метасоматических пород. М.: Наука, 1989. 344 с.
7. Кадик А.А., Френкель М.Я. Декомпрессия пород коры и верхней мантии как механизм образования магм. М.: Наука, 1982. 120 с.
8. Коржинский Д.С. Метамагматические процессы // Изв. АН СССР. Сер. геол. 1973. № 12. С. 3–6.
9. Маракушев А.А., Граменицкий Е.Н., Коротаев М.Ю. Петрологическая модель эндогенного рудообразования // Геология рудных месторождений. 1983. Т. XXV. № 1. С. 3–20.
10. Минералы: Справ. Т. V: Каркасные силикаты. В. I: Силикаты с разорванными каркасами, полевые шпаты. М.: Наука, 2003. 583 с.
11. Персикин Э.С. Вязкость магматических расплавов. М.: Наука, 1984. 160 с.
12. Салова Т.П., Эпельбаум М.Б., Тихомирова В.И., Лютов В.С., Ахмеджанова Г.А. Влияние температуры на кислотную агрессивность флюида по отношению к силикатному расплаву // Очерки физико-химической петрологии. М.: Наука, 1980. В. 9. С. 175–179.
13. Соболев Р.Н. Ограниченност применение диаграмм состав — свойства при анализе процесса кристаллизации магматических расплавов // Изв. РАН, секция наук о Земле. 2006. В. 14. С. 45–52.
14. Соболев Р.Н. Кинетический подход к кристаллизации магматических расплавов // Докл. РАН. 2007. Т. 412. № 4. С. 543–546.
15. Утенков В.А., Третьяков А.А. Порфировидные граници позднерифейского узунжальского комплекса (Центральный Казахстан) и причины возникновения монцотруктур // Бюл. МОИП, отд. геол. 2011. Т. 86. В. 6. С. 51–63.
16. Утенков В.А., Фесенко М.А. Условия кристаллизации гранитов и пегматитов (Тарбаганахский массив) // XI Международная конференция «Новые идеи в науках о Земле»: Докл. Т. 1. М., 2013. С. 203–204.
17. Федякин А.И. Отчет о результатах работ по объекту «ГДП-200 листа R-53-XX (Куларская площадь). ОАО «Янгегология», 2013.
18. Фесенко М.А. Контактовый метаморфизм в зоне контакта Тарбаганахского массива // VI Международная научная конференция студентов, аспирантов и молодых учёных «Молодые — наукам о Земле»: Материалы конференции. М., 2012. С. 97–98.
19. Фесенко М.А. Особенности строения и вещественного состава гранитных батолитов куларского комплекса // VI Международная научная конференция студентов, аспирантов и молодых учёных «Молодые — наукам о Земле»: Материалы конференции. М., 2012. С. 99–100.
20. Щекина Т.И., Граменицкий Е.Н., Алферьева Я.О. Лейкократовые магматические расплавы с предельными концентрациями фтора: эксперимент и природные отношения // Петрология. 2013. Т. 21, № 5. С. 499–516.
21. Dingwell D.B., Knoche R., Wedd S.L., Pichavant M. The effect of B_2O_3 on the viscosity of haplogranitic melts // Amer. Mineral. 1992. V. 77. P. 457–461.
22. Luth W.C., Jahns R.H., Tuttle O.F. The granite system at pressure of 4 to 10 kilobars // J. Geophys. Res., № 69. 1964. P. 759–773.
23. McLaren A.C., Retchford J.A. Transmission electron microscope study of the dislocations in plastically deformed synthetic quartz. Physica Status Solidi. 1969. V. 33. P. 657–668.
24. Pichavant M. An experimental study of the effect of boron on a water saturated haplogranite at 1 kbar vapour pressure // Contrib. Mineral. Petrol. 1981. V. 76. P. 430–439.
25. Shaw H.R. The from-phase curve sanidine — quartz — gas between 500 and 4000 bars // Amer. Mineralogist. 1963. V. 48. № 7–8. P. 883–896.
26. Utentkov V.A. Petrology of the Mórág Granite (SW Hungary) based on the Bátaapáti (Üveghuta) boreholes // Annual Report of the Geological Institute of Hungary. Évi Jelentése 2000–2001. Budapest, 2003. P. 153–188.
27. Yoder H.S. Albite—Anorthite—Quartz—Water at 5 kb // Carnegie Institution of Washington. Year Book 66 (1966–1967). P. 477–478.
28. Yoder H.S., Stewart D.B., Smith J.R. Ternary feldspats // Carnegie Institution of Washington. Year Book 56 (1956–1957). P. 206–214.

¹Российский государственный
геологоразведочный университет
(117997, г. Москва, ул. Миклухо-Маклая, 23;
e-mail: vutenk@yandex.ru)

²ФГУП «ЦНИГРИ»
(117545, г. Москва, Варшавское шоссе, 129, к. 1;
e-mail: fesenko.marina91@yandex.ru)

Рецензент — Е.Н. Граменицкий